

第 378 回 地震調査委員会資料

〈 目 次 〉

- ◆ 広帯域地震計を用いたモーメントテンソル解析結果（2022年9月01日-9月30日）…………… 2
- ◆ 紀伊半島・東海地域の深部低周波微動活動状況（2022年9月）…………… 14
- ◆ 四国の深部低周波微動活動状況（2022年9月）…………… 15
- ◆ 四国中西部の短期的スロースリップ活動状況（2022年9月）…………… 16

令和 4 年 10 月 12 日



国立研究開発法人

防災科学技術研究所

National Research Institute for Earth Science and Disaster Resilience

広帯域地震計を用いたモーメントテンソル解析結果
(2022年09月01日-09月30日)

国立研究開発法人 防災科学技術研究所

期間中のイベント数: 109

・北海道地方

8) 根室半島南東沖	(09/02 09:05 Mw4.1 H_29km VR92.10/3)	北西-南東圧縮の逆断層
12) 択捉島付近	(09/03 08:41 Mw4.8 H_23km VR76.22/3)	北西-南東圧縮の逆断層
13) 択捉島付近	(09/03 08:56 Mw4.9 H_20km VR69.01/3)	北西-南東圧縮の逆断層
17) 択捉島付近	(09/04 15:10 Mw4.1 H_14km VR79.56/3)	北西-南東圧縮の逆断層
32) 根室半島南東沖	(09/09 08:19 Mw4.0 H_47km VR52.39/3)	西北西-東南東圧縮の逆断層
35) オホーツク海南部	(09/11 00:54 Mw4.7 H540km VR75.45/3)	東西圧縮の逆断層
39) 釧路沖	(09/12 13:39 Mw4.8 H_23km VR69.16/3)	北西-南東圧縮の逆断層
41) 浦河沖	(09/13 09:51 Mw5.3 H_53km VR70.39/3)	西北西-東南東圧縮の逆断層
91) 十勝支庁中部	(09/24 15:16 Mw4.1 H_95km VR82.90/3)	南北方向に圧縮軸を持つ型

・東北地方

18) 福島県沖	(09/04 15:46 Mw4.5 H_62km VR91.67/3)	東北東-西南西圧縮の逆断層
38) 青森県西方沖	(09/12 06:21 Mw4.8 H180km VR83.53/3)	北西-南東伸張の正断層
70) 宮城県沖	(09/19 03:12 Mw4.1 H_35km VR77.83/3)	西北西-東南東圧縮の逆断層
72) 福島県沖	(09/19 08:49 Mw4.2 H_53km VR78.09/3)	西北西-東南東圧縮の逆断層
76) 岩手県沖	(09/20 09:06 Mw4.3 H_56km VR91.06/3)	西北西-東南東圧縮の逆断層
100) 青森県東方沖	(09/27 01:05 Mw4.9 H_32km VR82.97/3)	西北西-東南東圧縮の逆断層

・関東・中部地方

11) 千葉県北東部	(09/03 05:24 Mw4.2 H_35km VR84.44/3)	北北西-南南東圧縮の逆断層
14) 東京都23区	(09/03 11:54 Mw4.1 H_86km VR86.37/3)	北北東-南南西伸張の正断層
19) 八丈島東方沖	(09/04 23:11 Mw4.4 H_5km VR72.01/3)	北東-南西方向に伸長軸を持つ型
20) 八丈島東方沖	(09/04 23:58 Mw5.2 H_5km VR72.35/3)	東北東-西南西伸張の正断層
21) 八丈島東方沖	(09/05 04:54 Mw5.1 H_5km VR72.69/3)	東北東-西南西伸張の正断層
22) 八丈島東方沖	(09/05 12:29 Mw4.7 H_5km VR78.30/3)	東北東-西南西伸張の正断層
27) 八丈島東方沖	(09/06 23:30 Mw4.6 H_5km VR79.32/3)	北東-南西方向に伸長軸を持つ型
33) 茨城県北部	(09/09 18:54 Mw4.2 H_5km VR75.93/3)	東西伸張の正断層
48) 茨城県沖	(09/14 17:34 Mw4.0 H_32km VR63.53/3)	東西方向に圧縮軸を持つ型
60) 茨城県南部	(09/18 11:09 Mw4.7 H_50km VR85.18/3)	東西圧縮の逆断層
80) 千葉県東方沖	(09/22 07:24 Mw5.1 H_26km VR68.77/3)	西北西-東南東方向に伸長軸を持つ型
81) 千葉県東方沖	(09/22 07:36 Mw4.7 H_26km VR74.45/3)	西北西-東南東伸張の横ずれ断層
85) 茨城県南部	(09/23 09:53 Mw4.7 H_86km VR92.64/3)	東西方向に伸長軸を持つ型
103) 八丈島東方沖	(09/28 19:32 Mw4.1 H_5km VR80.71/3)	北東-南西方向に伸長軸を持つ型
104) 八丈島東方沖	(09/29 06:21 Mw4.0 H_5km VR69.26/3)	東北東-西南西方向に伸長軸を持つ型
107) 茨城県北部	(09/30 00:03 Mw4.1 H_5km VR91.32/3)	東西伸張の正断層
108) 茨城県南部	(09/30 14:58 Mw4.3 H_53km VR83.96/3)	北北西-南南東圧縮の逆断層

・小笠原地方

24) 父島近海	(09/06 01:57 Mw4.1 H_5km VR53.87/3)	東北東-西南西圧縮の逆断層
----------	-------------------------------------	---------------

26) 八丈島近海	(09/06 16:31 Mw4.0 H_47km VR73.10/3)	東西圧縮の逆断層
51) 父島近海	(09/17 05:00 Mw4.6 H_5km VR83.19/3)	東西圧縮の逆断層
56) 鳥島近海	(09/17 22:15 Mw4.3 H440km VR51.91/3)	北北西—南南東伸張の正断層
106) 父島近海	(09/29 20:19 Mw4.2 H_5km VR76.63/2)	東北東—西南西圧縮の逆断層
・九州地方		
6) 日向灘	(09/01 20:21 Mw4.8 H_23km VR64.17/3)	北西—南東圧縮の逆断層
34) 奄美大島近海	(09/10 11:35 Mw4.3 H_5km VR69.95/3)	北北西—南南東伸張の正断層
52) 種子島近海	(09/17 17:07 Mw4.0 H_41km VR64.73/3)	東西伸張の正断層
79) 宮崎県南部山沿い地方	(09/22 07:17 Mw4.0 H_47km VR77.40/3)	西北西—東南東伸張の正断層
86) 奄美大島東方沖	(09/23 21:42 Mw4.0 H_5km VR68.96/2)	東西伸張の正断層
・沖縄地方		
3) 沖縄本島近海	(09/01 11:02 Mw4.8 H_5km VR88.79/3)	北北西—南南東伸張の正断層
5) 台湾付近	(09/01 16:01 Mw4.2 H_35km VR63.58/2)	東西方向に圧縮軸を持つ型
23) 与那国島近海	(09/05 19:46 Mw4.2 H_5km VR83.73/2)	北北西—南南東伸張の正断層
30) 台湾付近	(09/07 13:50 Mw4.4 H_8km VR94.78/2)	北北西—南南東伸張の正断層
43) 東シナ海	(09/14 00:22 Mw4.8 H_5km VR93.02/3)	北西—南東伸張の正断層
44) 東シナ海	(09/14 00:33 Mw4.3 H_5km VR94.50/2)	北北西—南南東伸張の正断層
45) 東シナ海	(09/14 01:19 Mw4.2 H_5km VR91.84/2)	北北西—南南東伸張の正断層
47) 台湾付近	(09/14 10:35 Mw4.9 H_35km VR71.35/2)	北東—南西方向に圧縮軸を持つ型
53) 東シナ海	(09/17 19:17 Mw4.4 H_5km VR63.74/3)	北北西—南南東方向に伸長軸を持つ型
54) 東シナ海	(09/17 19:29 Mw4.6 H_5km VR85.72/3)	北西—南東方向に伸長軸を持つ型
55) 東シナ海	(09/17 19:49 Mw4.5 H_5km VR82.35/3)	北西—南東伸張の横ずれ断層
57) 台湾付近	(09/17 22:41 Mw6.6 H_23km VR92.18/3)	北北西—南南東方向に圧縮軸を持つ型
58) 台湾付近	(09/17 23:45 Mw5.6 H_5km VR60.76/2)	北北西—南南東方向に圧縮軸を持つ型
59) 東シナ海	(09/18 03:25 Mw4.6 H_5km VR80.90/3)	北西—南東方向に伸長軸を持つ型
61) 東シナ海	(09/18 14:59 Mw4.9 H_5km VR68.96/3)	北北西—南南東方向に伸長軸を持つ型
62) 東シナ海	(09/18 15:04 Mw4.7 H_5km VR77.32/3)	北西—南東方向に伸長軸を持つ型
63) 台湾付近	(09/18 15:32 Mw5.2 H_17km VR69.00/2)	北西—南東方向に圧縮軸を持つ型
64) 台湾付近	(09/18 15:44 Mw7.1 H_20km VR64.08/3)	北北西—南南東方向に圧縮軸を持つ型
65) 東シナ海	(09/18 17:07 Mw5.3 H_20km VR68.00/3)	北西—南東伸張の横ずれ断層
66) 東シナ海	(09/18 17:09 Mw5.7 H_8km VR91.93/3)	北西—南東方向に伸長軸を持つ型
67) 台湾付近	(09/18 18:39 Mw5.8 H_32km VR69.98/3)	東北東—西南西圧縮の横ずれ断層
68) 東シナ海	(09/18 19:05 Mw5.2 H_5km VR86.98/3)	北西—南東伸張の横ずれ断層
69) 東シナ海	(09/18 22:07 Mw4.1 H_5km VR69.14/2)	北西—南東伸張の正断層
73) 台湾付近	(09/19 11:07 Mw5.4 H_23km VR63.15/2)	西北西—東南東方向に圧縮軸を持つ型
75) 東シナ海	(09/19 21:32 Mw4.2 H_5km VR90.83/2)	北西—南東伸張の正断層
78) 東シナ海	(09/21 15:48 Mw4.1 H_5km VR83.41/2)	北西—南東方向に伸長軸を持つ型
84) 東シナ海	(09/23 07:19 Mw4.6 H_14km VR92.99/3)	北西—南東伸張の横ずれ断層
88) 台湾付近	(09/24 00:59 Mw4.0 H_8km VR71.46/2)	北西—南東伸張の正断層
95) 沖縄本島南方沖	(09/25 21:43 Mw4.9 H_35km VR74.58/3)	北東—南西圧縮の横ずれ断層
97) 沖縄本島近海	(09/26 04:05 Mw4.7 H_8km VR63.14/3)	北西—南東圧縮の逆断層

105) 東シナ海 (09/29 07:06 Mw4.1 H119km VR56.05/2) 南北方向に圧縮軸を持つ型
109) 台湾付近 (09/30 23:37 Mw4.4 H_29km VR71.97/2) 西北西-東南東圧縮の逆断層

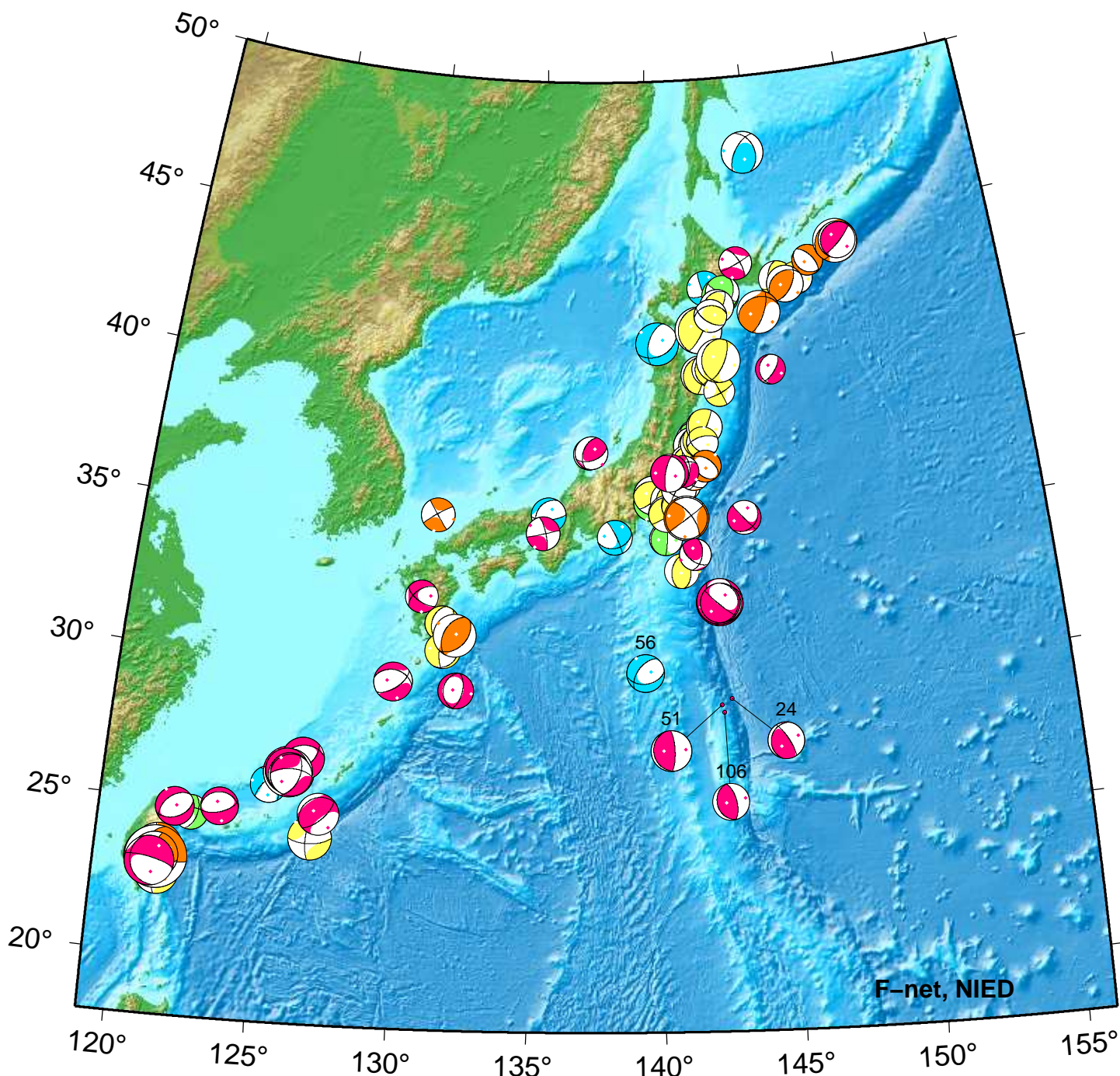
*Mw4.0以上をリストアップ。 **下線部はMw5.0以上を示す。

"VR"欄の"/"の後の数は解析に使用した観測点数を示す。 *断層タイプの分類はFrohlich [1992]による。

謝辞 地形データは海上保安庁のものを使用させて頂きました。 記して感謝いたします

NIED Moment Tensor Solutions

Sep 01,2022–Sep 30,2022(JST)



F-net, NIED

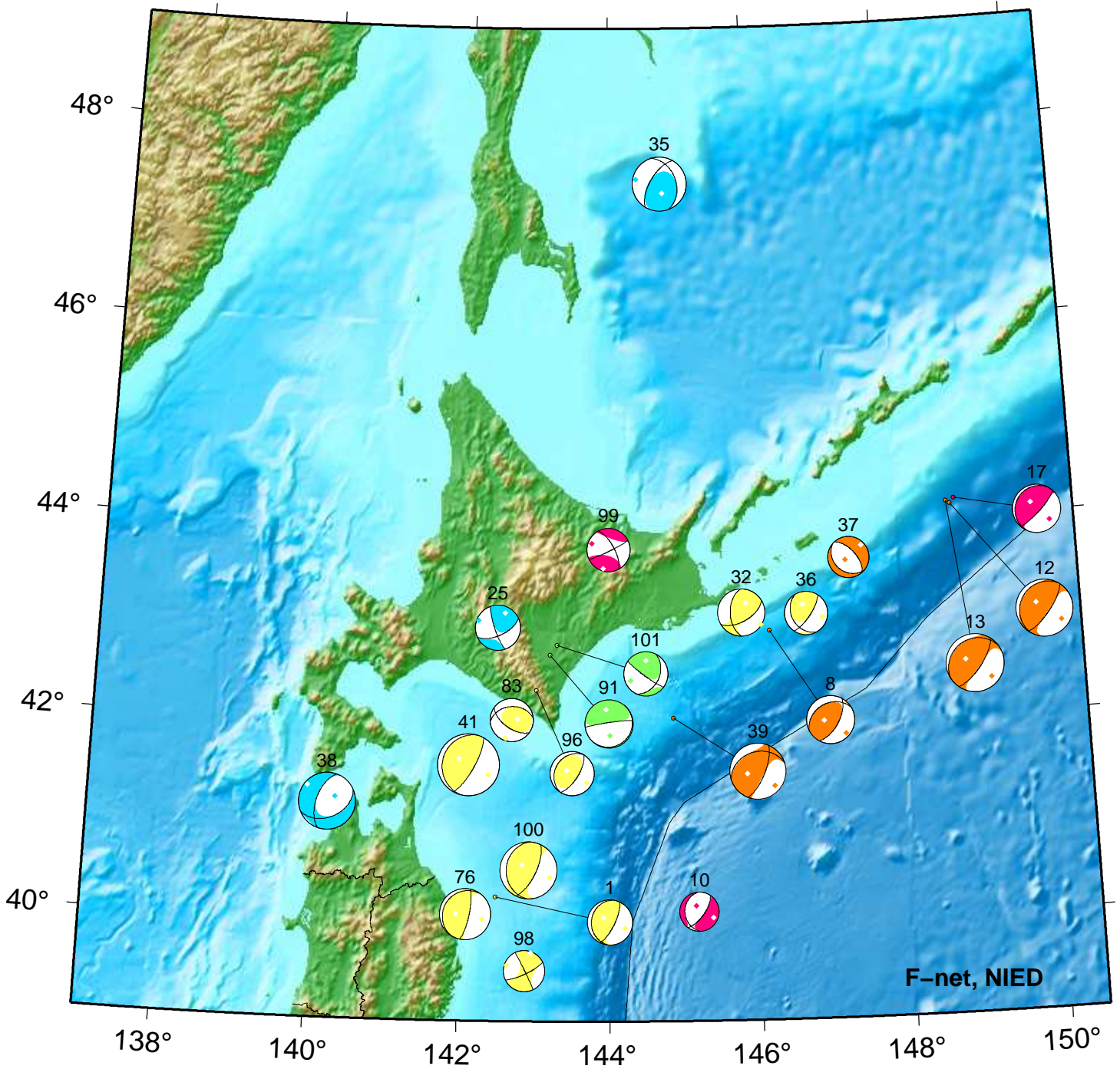


24. 09/06 01:57 Mw4.1 H_5km VR53.9
51. 09/17 05:00 Mw4.6 H_5km VR83.2

56. 09/17 22:15 Mw4.3 H440km VR51.9
106. 09/29 20:19 Mw4.2 H_5km VR76.6

Hokkaido

Sep 01,2022–Sep 30,2022(JST)



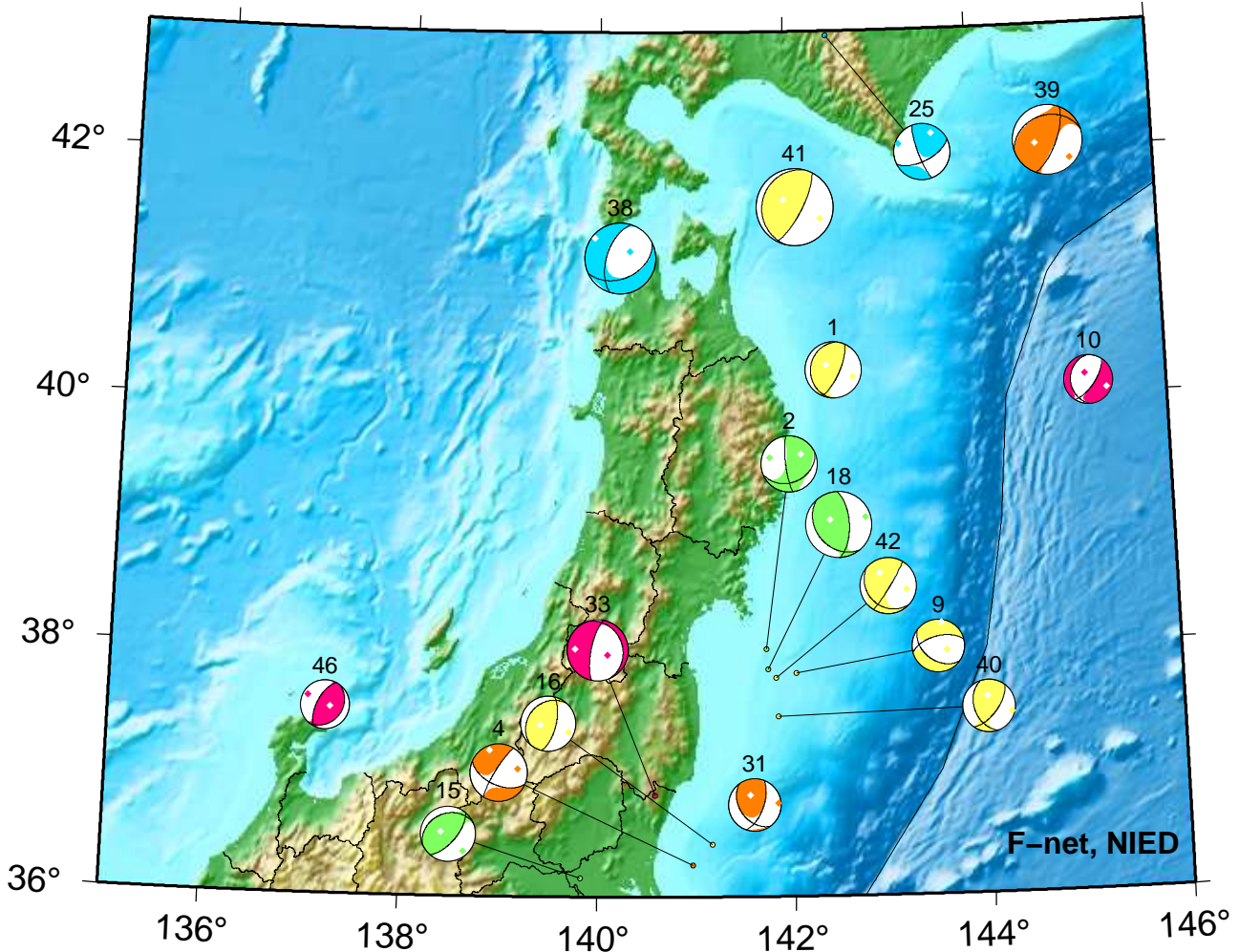
F-net, NIED



- | | | |
|-------------------------------------|-------------------------------------|--------------------------------------|
| 1. 09/01 01:07 Mw3.8 H_38km VR89.2 | 35. 09/11 00:54 Mw4.7 H540km VR75.5 | 91. 09/24 15:16 Mw4.1 H_95km VR82.9 |
| 8. 09/02 09:05 Mw4.1 H_29km VR92.1 | 36. 09/11 01:40 Mw3.7 H_41km VR76.6 | 96. 09/25 22:35 Mw3.8 H_56km VR84.9 |
| 10. 09/02 21:28 Mw3.3 H_5km VR51.3 | 37. 09/12 01:56 Mw3.5 H_29km VR59.5 | 98. 09/26 16:38 Mw3.5 H_35km VR54.1 |
| 12. 09/03 08:41 Mw4.8 H_23km VR76.2 | 38. 09/12 06:21 Mw4.8 H180km VR83.5 | 99. 09/26 19:25 Mw3.7 H_5km VR67.8 |
| 13. 09/03 08:56 Mw4.9 H_20km VR69.0 | 39. 09/12 13:39 Mw4.8 H_23km VR69.2 | 100. 09/27 01:05 Mw4.9 H_32km VR83.0 |
| 17. 09/04 15:10 Mw4.1 H_14km VR79.6 | 41. 09/13 09:51 Mw5.3 H_53km VR70.4 | 101. 09/28 00:24 Mw3.8 H_86km VR57.8 |
| 25. 09/06 10:18 Mw3.9 H122km VR83.2 | 76. 09/20 09:06 Mw4.3 H_56km VR91.1 | |
| 32. 09/09 08:19 Mw4.0 H_47km VR52.4 | 83. 09/22 08:10 Mw3.7 H_47km VR56.4 | |

Tohoku

Sep 01,2022-Sep 15,2022(JST)



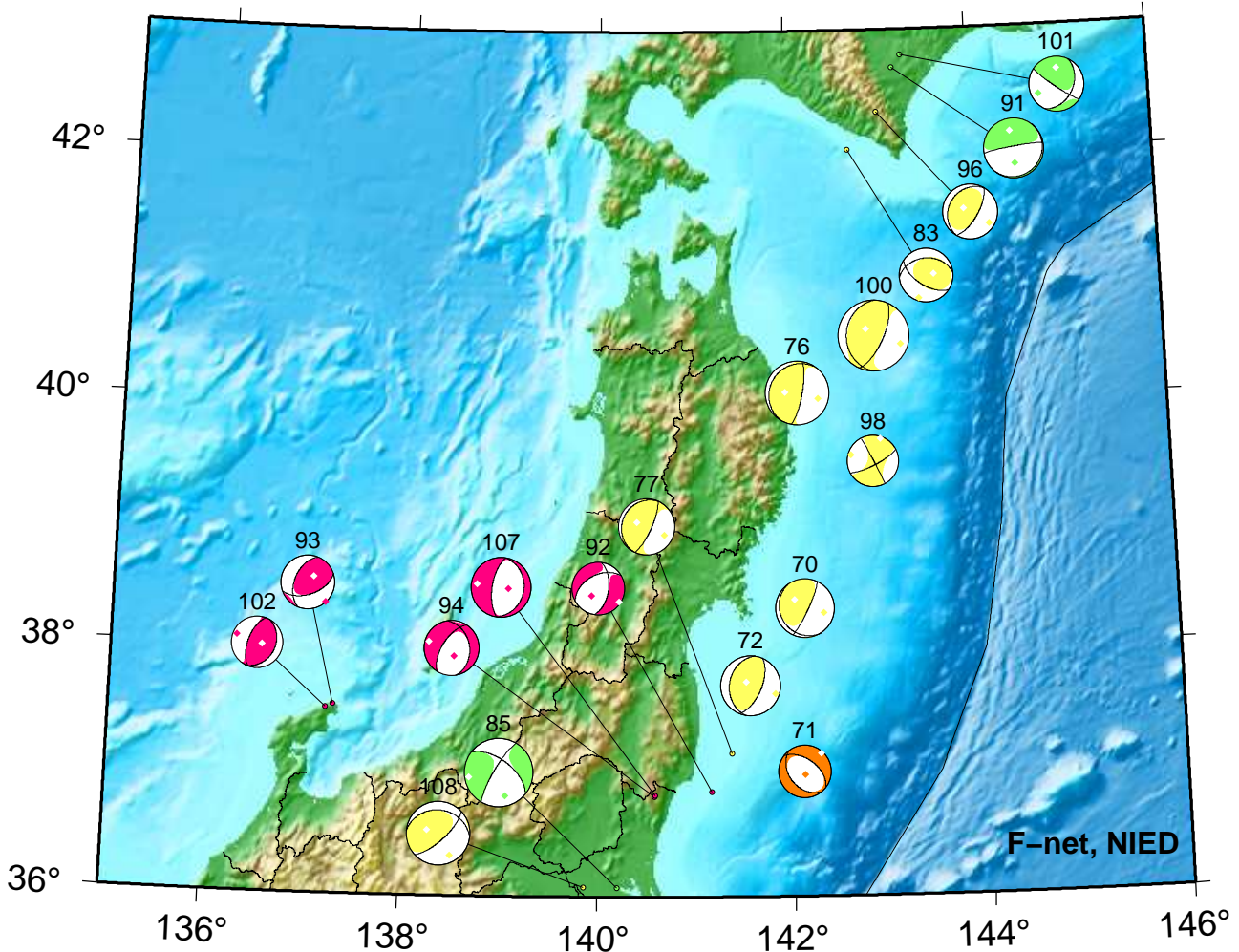
1. 09/01 01:07 Mw3.8 H_38km VR89.2
 2. 09/01 02:47 Mw3.8 H_65km VR66.8
 4. 09/01 14:24 Mw3.9 H_29km VR90.2
 9. 09/02 13:56 Mw3.6 H_32km VR80.8
 10. 09/02 21:28 Mw3.3 H_5km VR51.3
 15. 09/03 16:34 Mw3.8 H_68km VR83.6

16. 09/03 17:39 Mw3.8 H_41km VR75.6
 18. 09/04 15:46 Mw4.5 H_62km VR91.7
 25. 09/06 10:18 Mw3.9 H122km VR83.2
 31. 09/09 03:44 Mw3.6 H_26km VR80.2
 33. 09/09 18:54 Mw4.2 H_5km VR75.9
 38. 09/12 06:21 Mw4.8 H180km VR83.5

39. 09/12 13:39 Mw4.8 H_23km VR69.2
 40. 09/13 01:36 Mw3.6 H_47km VR76.8
 41. 09/13 09:51 Mw5.3 H_53km VR70.4
 42. 09/13 20:58 Mw3.9 H_44km VR87.1
 46. 09/14 08:54 Mw3.3 H_8km VR51.8

Tohoku

Sep 16,2022–Sep 30,2022(JST)



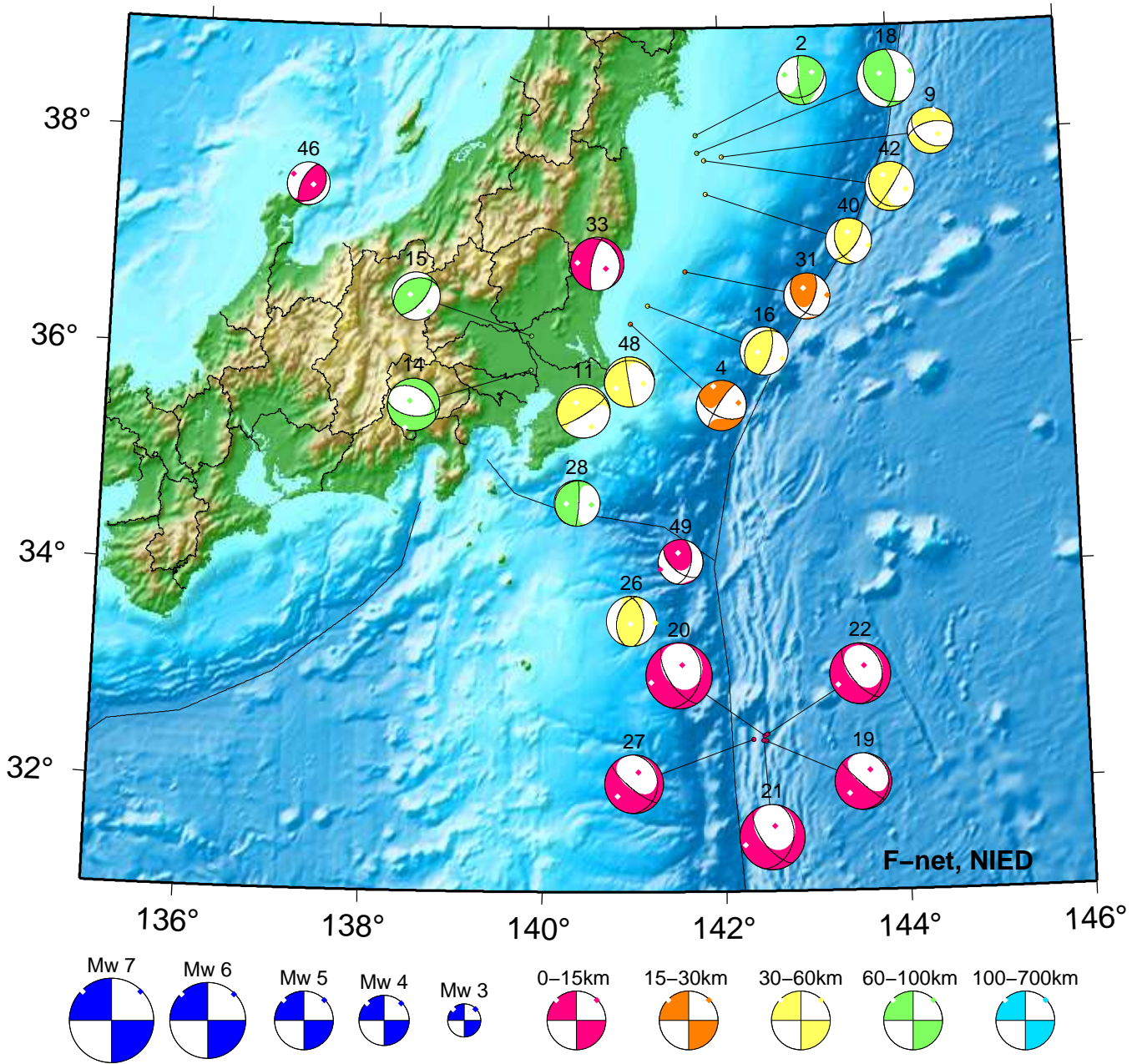
F-net, NIED



70. 09/19 03:12 Mw4.1 H_35km VR77.8	85. 09/23 09:53 Mw4.7 H_86km VR92.6	98. 09/26 16:38 Mw3.5 H_35km VR54.1
71. 09/19 04:44 Mw3.6 H_26km VR62.0	91. 09/24 15:16 Mw4.1 H_95km VR82.9	100. 09/27 01:05 Mw4.9 H_32km VR83.0
72. 09/19 08:49 Mw4.2 H_53km VR78.1	92. 09/24 19:11 Mw3.6 H_11km VR71.8	101. 09/28 00:24 Mw3.8 H_86km VR57.8
76. 09/20 09:06 Mw4.3 H_56km VR91.1	93. 09/25 06:23 Mw3.7 H_8km VR90.1	102. 09/28 06:21 Mw3.6 H_8km VR62.4
77. 09/20 15:19 Mw3.9 H_47km VR69.3	94. 09/25 07:31 Mw3.8 H_8km VR87.3	107. 09/30 00:03 Mw4.1 H_5km VR91.3
83. 09/22 08:10 Mw3.7 H_47km VR56.4	96. 09/25 22:35 Mw3.8 H_56km VR84.9	108. 09/30 14:58 Mw4.3 H_53km VR84.0

Kanto-Chubu

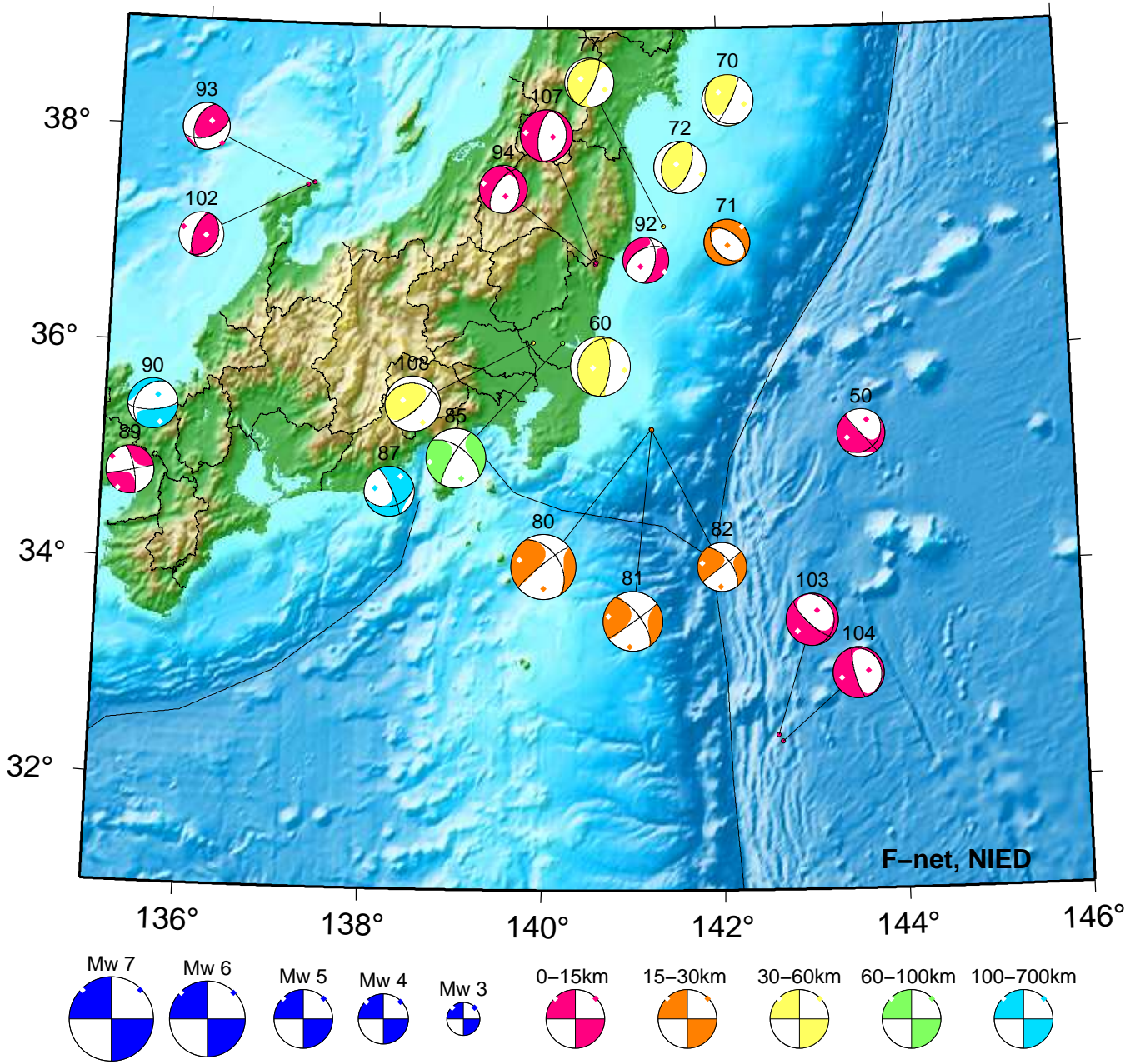
Sep 01,2022-Sep 15,2022(JST)



2. 09/01 02:47 Mw3.8 H_65km VR66.8	19. 09/04 23:11 Mw4.4 H_5km VR72.0	33. 09/09 18:54 Mw4.2 H_5km VR75.9
4. 09/01 14:24 Mw3.9 H_29km VR90.2	20. 09/04 23:58 Mw5.2 H_5km VR72.3	40. 09/13 01:36 Mw3.6 H_47km VR76.8
9. 09/02 13:56 Mw3.6 H_32km VR80.8	21. 09/05 04:54 Mw5.1 H_5km VR72.7	42. 09/13 20:58 Mw3.9 H_44km VR87.1
11. 09/03 05:24 Mw4.2 H_35km VR84.4	22. 09/05 12:29 Mw4.7 H_5km VR78.3	46. 09/14 08:54 Mw3.3 H_8km VR51.8
14. 09/03 11:54 Mw4.1 H_86km VR86.4	26. 09/06 16:31 Mw4.0 H_47km VR73.1	48. 09/14 17:34 Mw4.0 H_32km VR63.5
15. 09/03 16:34 Mw3.8 H_68km VR83.6	27. 09/06 23:30 Mw4.6 H_5km VR79.3	49. 09/15 12:59 Mw3.6 H_5km VR70.4
16. 09/03 17:39 Mw3.8 H_41km VR75.6	28. 09/06 23:50 Mw3.6 H_65km VR61.8	
18. 09/04 15:46 Mw4.5 H_62km VR91.7	31. 09/09 03:44 Mw3.6 H_26km VR80.2	

Kanto-Chubu

Sep 16,2022-Sep 30,2022(JST)



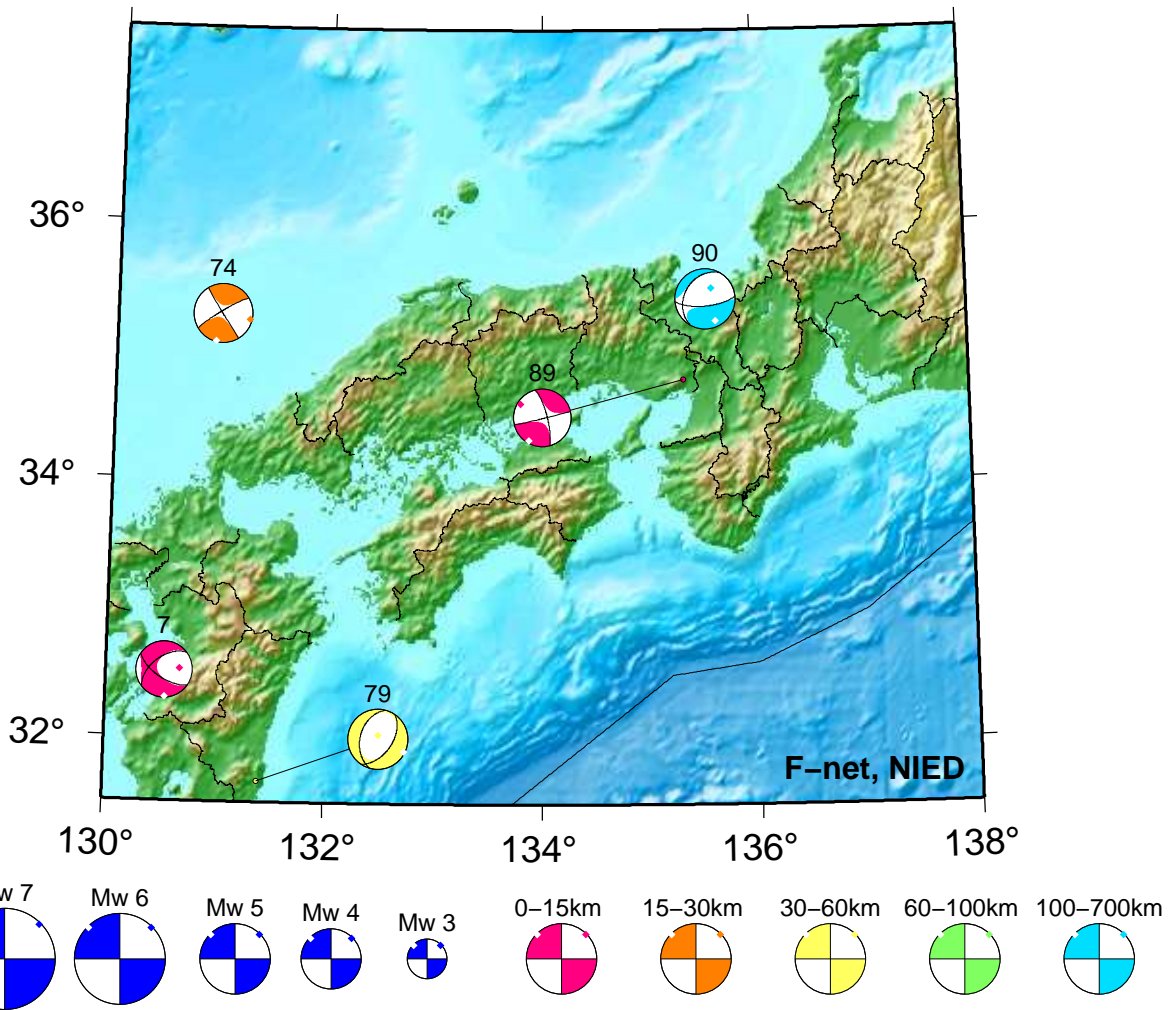
50. 09/16 15:20 Mw3.8 H_5km VR74.6
 60. 09/18 11:09 Mw4.7 H_50km VR85.2
 70. 09/19 03:12 Mw4.1 H_35km VR77.8
 71. 09/19 04:44 Mw3.6 H_26km VR62.0
 72. 09/19 08:49 Mw4.2 H_53km VR78.1
 77. 09/20 15:19 Mw3.9 H_47km VR69.3
 80. 09/22 07:24 Mw5.1 H_26km VR68.8

81. 09/22 07:36 Mw4.7 H_26km VR74.5
 82. 09/22 08:09 Mw3.9 H_29km VR60.0
 85. 09/23 09:53 Mw4.7 H_86km VR92.6
 87. 09/23 23:53 Mw3.9 H280km VR67.8
 89. 09/24 03:33 Mw3.8 H_8km VR94.4
 90. 09/24 12:36 Mw3.9 H360km VR71.4
 92. 09/24 19:11 Mw3.6 H_11km VR71.8

93. 09/25 06:23 Mw3.7 H_8km VR90.1
 94. 09/25 07:31 Mw3.8 H_8km VR87.3
 102. 09/28 06:21 Mw3.6 H_8km VR62.4
 103. 09/28 19:32 Mw4.1 H_5km VR80.7
 104. 09/29 06:21 Mw4.0 H_5km VR69.3
 107. 09/30 00:03 Mw4.1 H_5km VR91.3
 108. 09/30 14:58 Mw4.3 H_53km VR84.0

Kinki-Chugoku-Shikoku

Sep 01,2022-Sep 30,2022(JST)



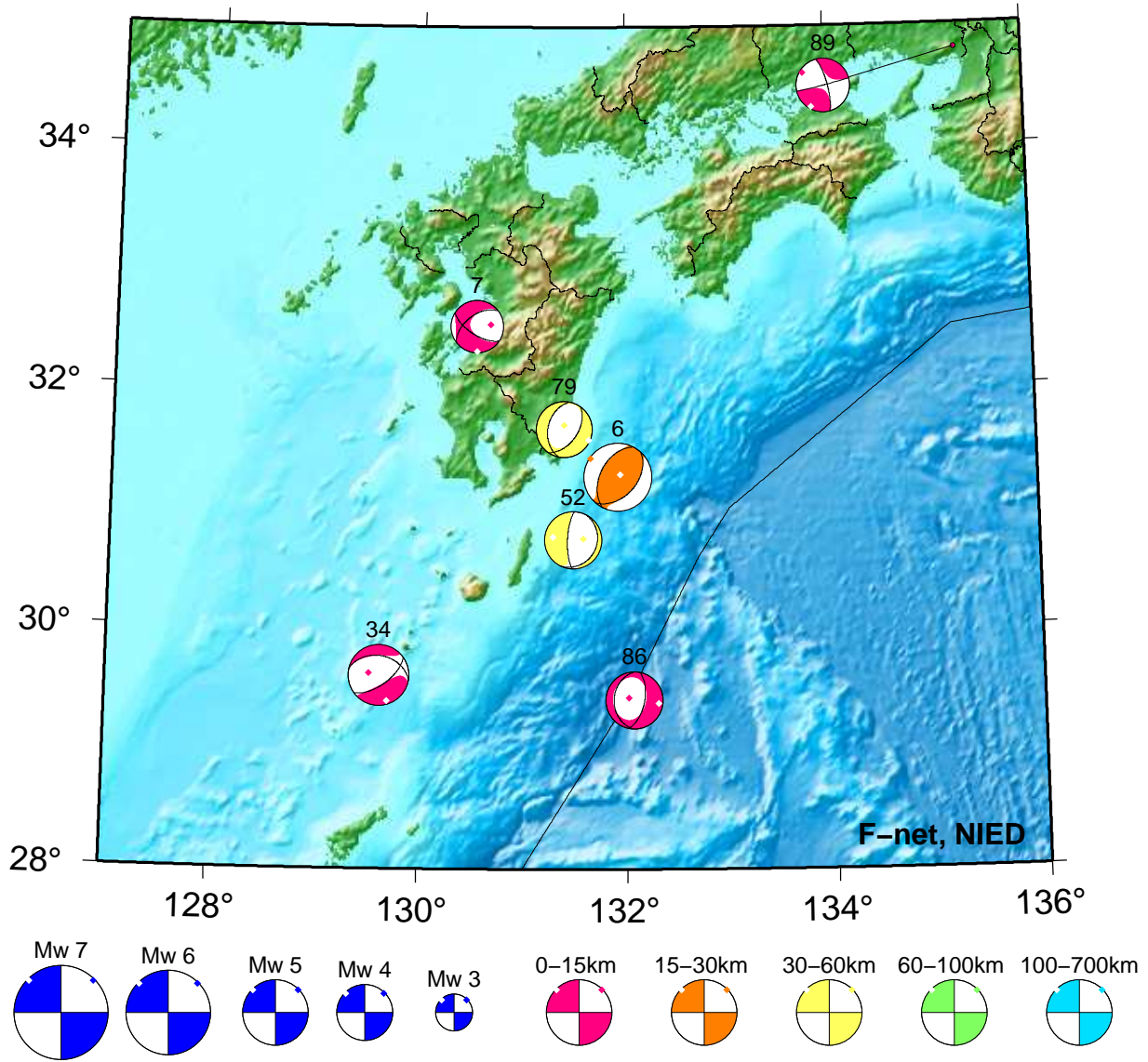
7. 09/02 08:42 Mw3.7 H_8km VR87.3
74. 09/19 20:40 Mw3.8 H_17km VR58.2

79. 09/22 07:17 Mw4.0 H_47km VR77.4
89. 09/24 03:33 Mw3.8 H_8km VR94.4

90. 09/24 12:36 Mw3.9 H360km VR71.4

Kyushu

Sep 01,2022-Sep 30,2022(JST)



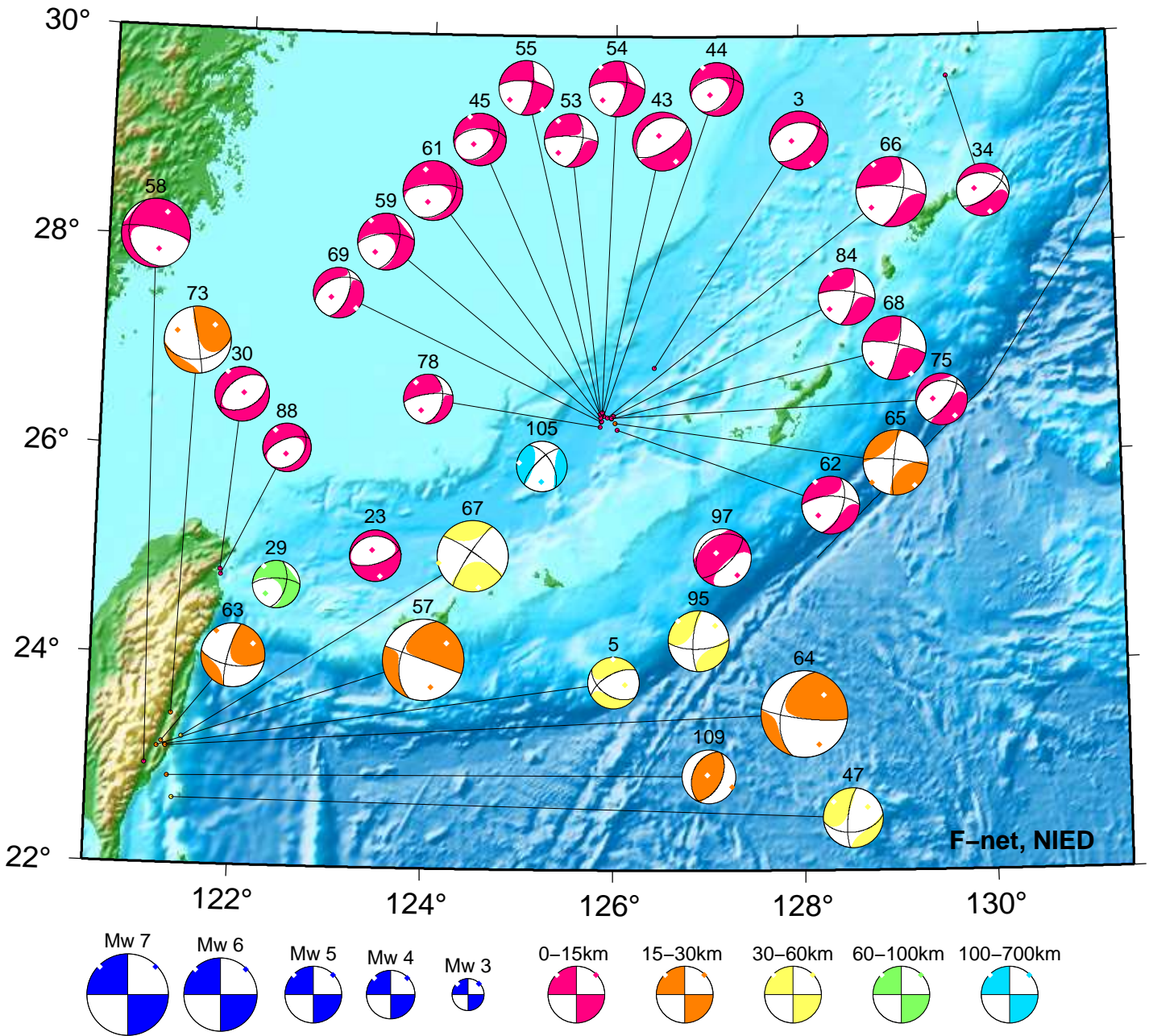
6. 09/01 20:21 Mw4.8 H_23km VR64.2
 7. 09/02 08:42 Mw3.7 H_8km VR87.3
 34. 09/10 11:35 Mw4.3 H_5km VR70.0

52. 09/17 17:07 Mw4.0 H_41km VR64.7
 79. 09/22 07:17 Mw4.0 H_47km VR77.4
 86. 09/23 21:42 Mw4.0 H_5km VR69.0

89. 09/24 03:33 Mw3.8 H_8km VR94.4

Okinawa

Sep 01,2022-Sep 30,2022(JST)



3. 09/01 11:02 Mw4.8 H_5km VR88.8	55. 09/17 19:49 Mw4.5 H_5km VR82.3	69. 09/18 22:07 Mw4.1 H_5km VR69.1
5. 09/01 16:01 Mw4.2 H_35km VR63.6	57. 09/17 22:41 Mw6.6 H_23km VR92.2	73. 09/19 11:07 Mw5.4 H_23km VR63.1
23. 09/05 19:46 Mw4.2 H_5km VR83.7	58. 09/17 23:45 Mw5.6 H_5km VR60.8	75. 09/19 21:32 Mw4.2 H_5km VR90.8
30. 09/07 08:08 Mw3.9 H_80km VR82.1	59. 09/18 03:25 Mw4.6 H_5km VR80.9	78. 09/21 15:48 Mw4.1 H_5km VR83.4
34. 09/10 13:50 Mw4.4 H_8km VR94.8	61. 09/18 14:59 Mw4.9 H_5km VR69.0	84. 09/23 07:19 Mw4.6 H_14km VR83.0
34. 09/10 11:35 Mw4.3 H_5km VR70.0	62. 09/18 15:04 Mw4.7 H_5km VR77.3	88. 09/24 00:59 Mw4.0 H_8km VR71.5
43. 09/14 00:22 Mw4.8 H_5km VR93.0	63. 09/18 15:32 Mw5.2 H_17km VR69.0	95. 09/25 21:43 Mw4.9 H_35km VR74.6
44. 09/14 00:33 Mw4.3 H_5km VR94.5	64. 09/18 15:44 Mw7.1 H_20km VR64.1	97. 09/26 04:05 Mw4.7 H_8km VR63.1
45. 09/14 01:19 Mw4.2 H_8km VR91.8	65. 09/18 17:07 Mw5.3 H_20km VR68.0	105. 09/29 07:06 Mw4.1 H119km VR56.0
47. 09/14 10:35 Mw4.9 H_35km VR71.3	66. 09/18 17:09 Mw5.7 H_8km VR91.9	109. 09/30 23:37 Mw4.4 H_29km VR72.0
53. 09/17 19:17 Mw4.4 H_5km VR63.7	67. 09/18 18:39 Mw5.8 H_32km VR70.0	
54. 09/17 19:29 Mw4.6 H_5km VR85.7	68. 09/18 19:05 Mw5.2 H_5km VR87.0	

紀伊半島・東海地域の深部低周波微動活動状況 (2022年9月)

● 9月30日頃から紀伊半島北部において、微動活動が開始。

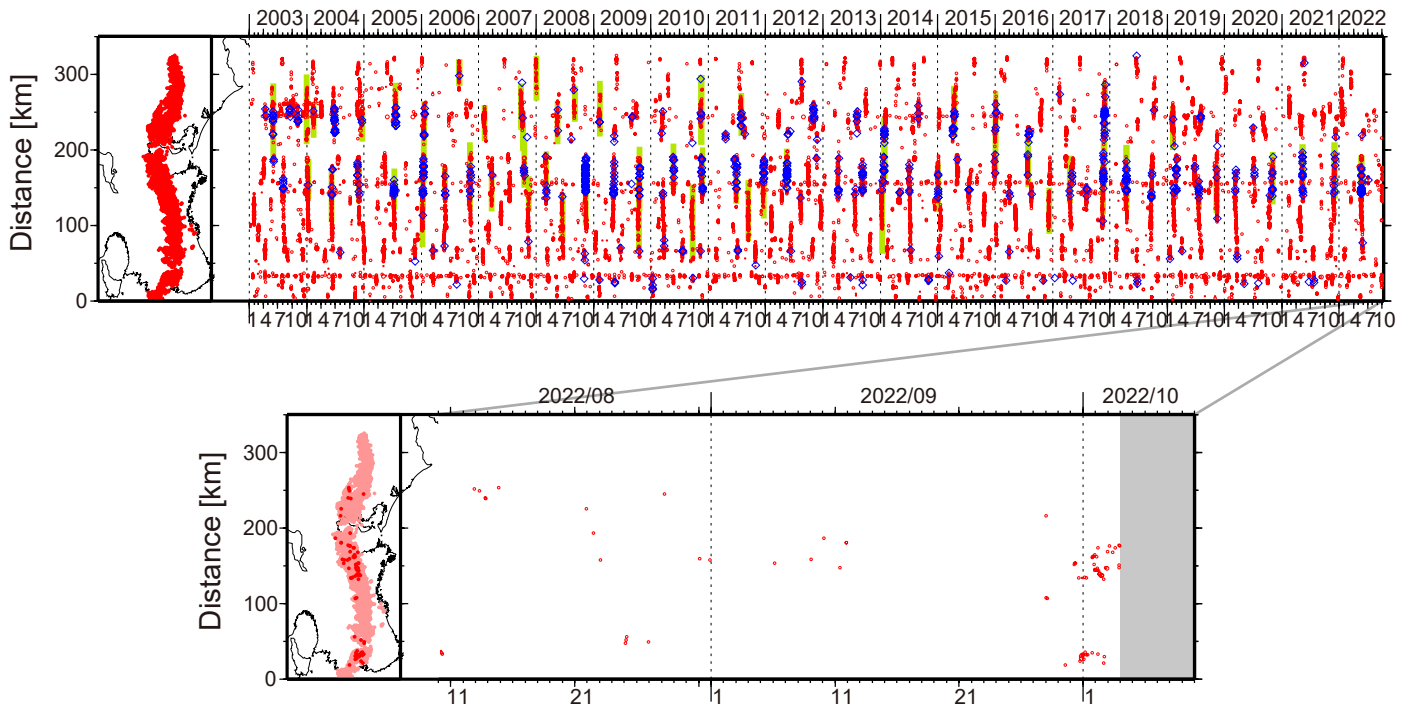


図1. 紀伊半島・東海地域における2003年1月～2022年10月3日までの深部低周波微動の時空間分布(上図). 赤丸はエンベロープ相関・振幅ハイブリッド法 (Maeda and Obara, 2009) およびクラスター処理 (Obara et al., 2010) によって1時間毎に自動処理された微動分布の重心である. 青菱形は周期20秒に卓越する超低周波地震 (Ito et al., 2007) である. 黄緑色の太線はこれまでに検出された短期的スロースリップイベント (SSE) を示す. 下図は2022年9月を中心とした期間の拡大図である. 9月30日頃からは、三重県中部において微動活動が開始し、北東および南西方向に活動域の拡大がみられる. 9月30日～10月2日頃には、和歌山県中部において、小規模な活動がみられた. 9月11日8:47頃 (JST) にパプアニューギニアで発生したM7.6 (USGS) の地震後、9:05頃より三重県中部で微動活動がみられた.

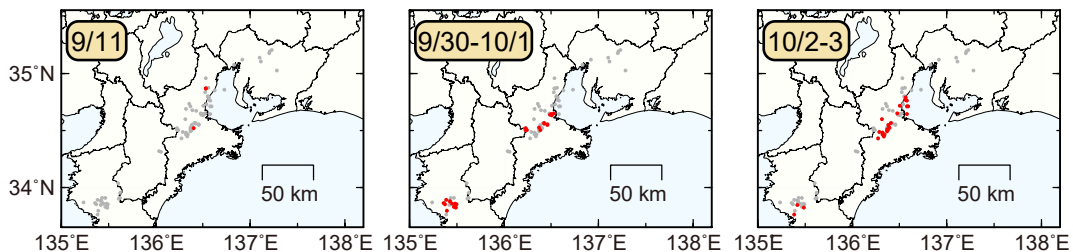


図2. 各期間に発生した微動 (赤丸) の分布. 灰丸は、図1の拡大図で示した期間における微動分布を示す.

四国の深部低周波微動活動状況 (2022年9月)

● 9月3～8日頃に四国西部から中部において、やや活発な微動活動。

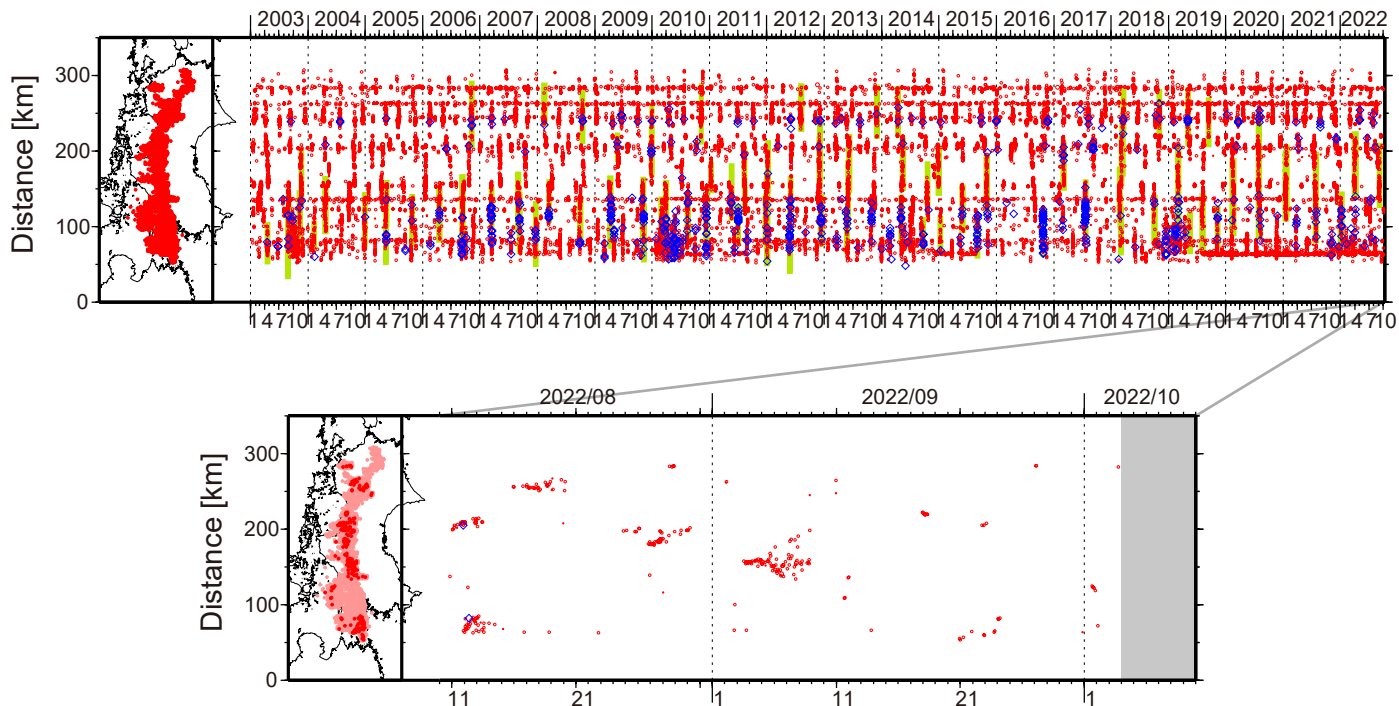


図1. 四国における2003年1月～2022年10月3日までの深部低周波微動の時空間分布(上図). 赤丸はエンベロープ相関・振幅ハイブリッド法(Maeda and Obara, 2009)およびクラスタ処理(Obara et al., 2010)によって1時間毎に自動処理された微動分布の重心である. 青菱形は周期20秒に卓越する超低周波地震(Ito et al., 2007)である. 黄緑色太線は、これまでに検出された短期的スロースリップイベント(SSE)を示す. 下図は2022年9月を中心とした期間の拡大図である. 9月3～8日頃には愛媛県中部から東部において、やや活発な微動活動がみられた. この活動は愛媛県中部で開始し、東西方向に活動域の拡大がみられた. なお、9月3日12:55頃に愛媛県南西部深さ42kmで発生したM3.2の地震(Hi-net 暫定値)の後、13:05過ぎから微動活動が開始している. この活動に際し、傾斜変動から短期的SSEの断層モデルも推定されている. 9月17～18日頃および9月22～23日には愛媛県東部において、10月1日頃には愛媛県西部において、それぞれごく小規模な活動がみられた.

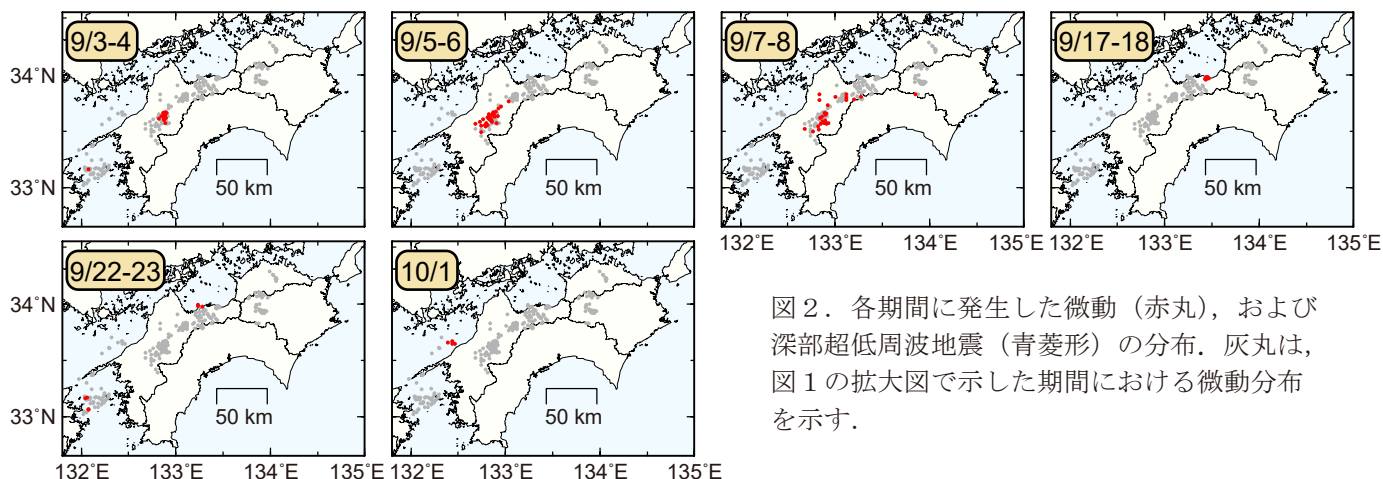


図2. 各期間に発生した微動(赤丸), および深部超低周波地震(青菱形)の分布. 灰丸は、図1の拡大図で示した期間における微動分布を示す.

- ・ 四国中西部を活動域とする短期的スロースリップイベント (M_w 5.8)
- ・ 2022年3～4月 (M_w 6.2) 以来約5ヶ月ぶり

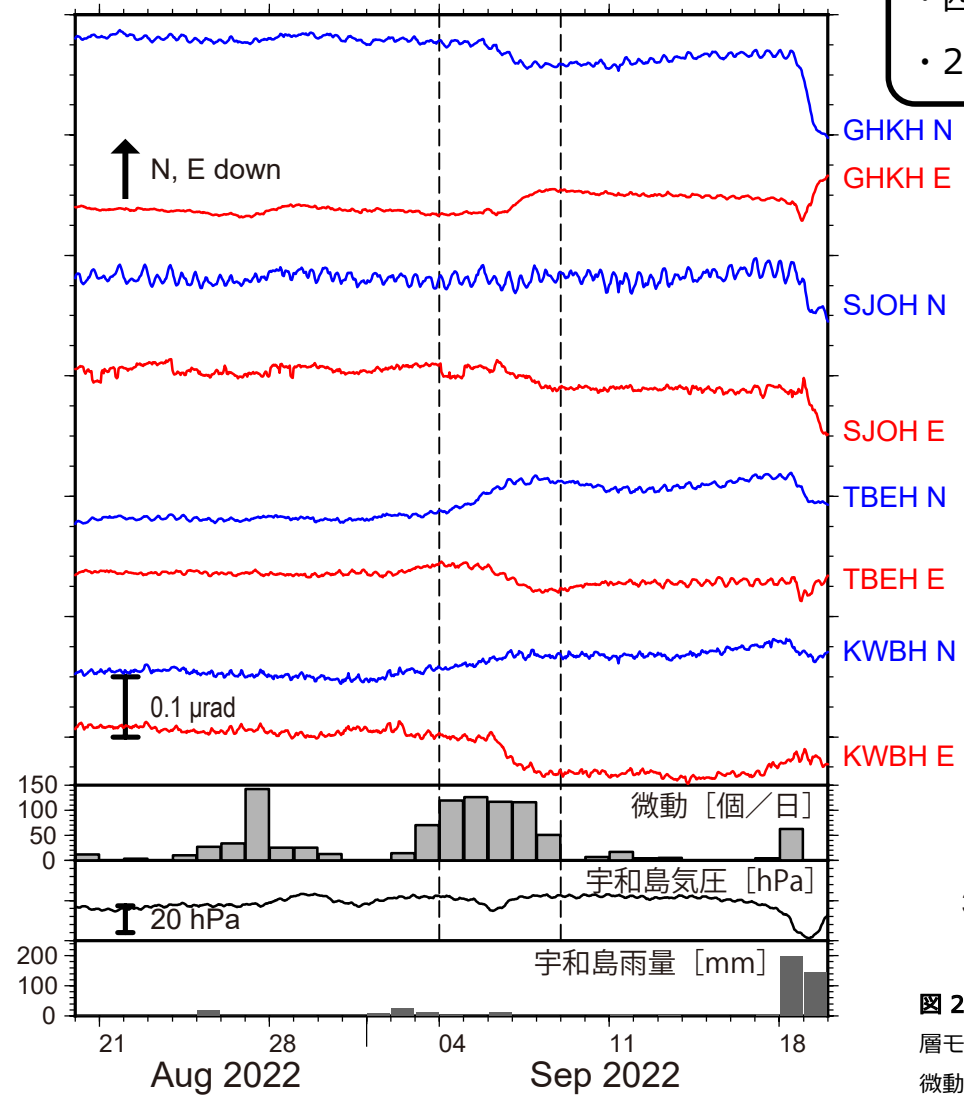


図1: 2022年8月20日～9月19日の傾斜時系列。上方への変化が北・東下がりの傾斜変動を表し、BAYTAP-Gにより潮汐・気圧応答成分を除去した。9月4日～8日の傾斜変化ベクトルを図2に示す。四国西部～中部での微動活動度・気象庁宇和島観測点の気圧・雨量をあわせて示す。

lat. 33.78	lon. 133.42
strike 233°	dip 15°
depth 25 km	slip 0.53 cm
leng. 76 km	wid. 39 km
M_0 6.3e+17	M_w 5.8
rake 107°	

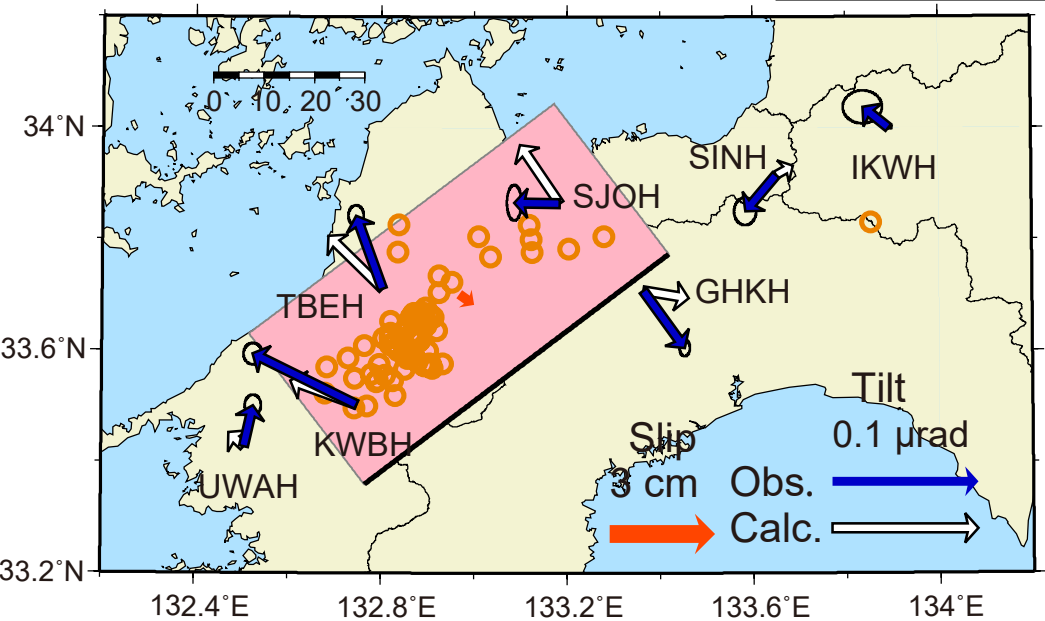


図2: 9月4日～8日に観測された傾斜変化ベクトル (青矢印), 推定されたスロースリップイベントの断層モデル (赤矩形・矢印), モデルから計算される傾斜変化ベクトル (白抜き矢印) を示す。1時間ごとの微動エネルギーの重心位置 (橙丸), 深部超低周波地震の震央 (茶星印) もあわせて示す。すべり角はプレート相対運動方向に固定している。

謝辞
気象庁のWEBページで公開されている気象データを使用させて頂きました。記して感謝いたします。